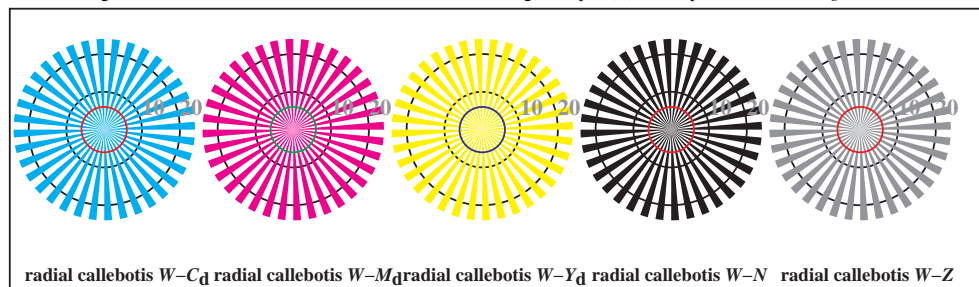
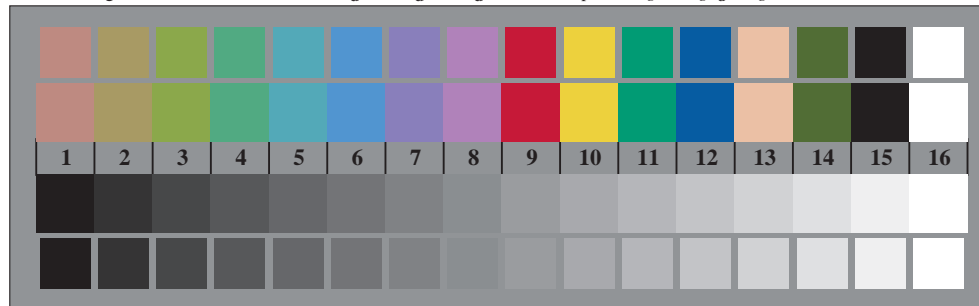




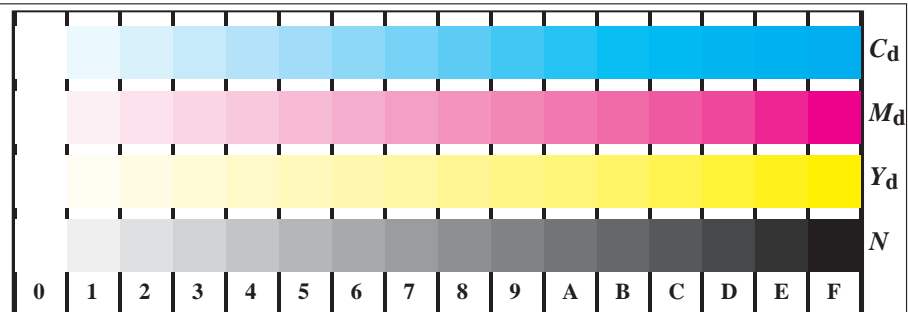
TF930-3, Fig. B1Wd: le motif fleuri, 14 CIE test couleurs et 2 + 16 gris étapes (sf); ; PS operator 4 colorimage



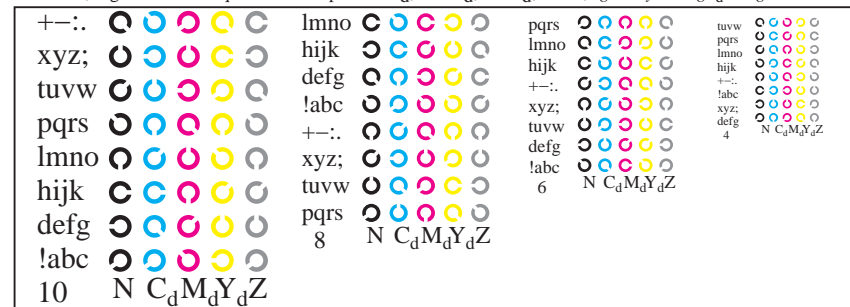
TF930-5, Fig. B2Wd: radial callebotis  $W-C_d$ ;  $W-M_d$ ;  $W-Y_d$ ;  $W-N$ ; PS operator  $rgb \rightarrow rgb_d$  setrgbcolor



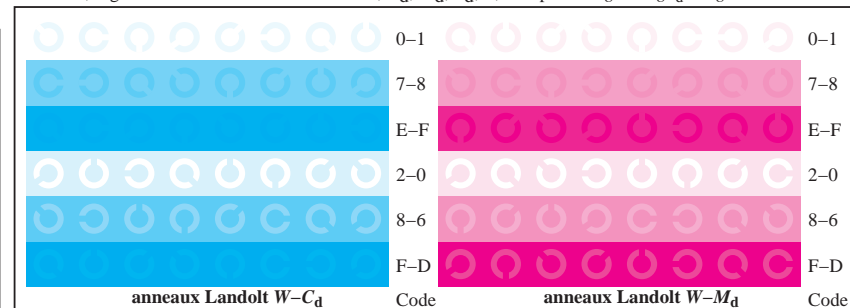
TF930-7, Fig. B3Wd: 14 CIE test couleurs et 2 + 16 gris étapes (sf);  $rgb/cmy0 \rightarrow rgb_d$  setrgbcolor



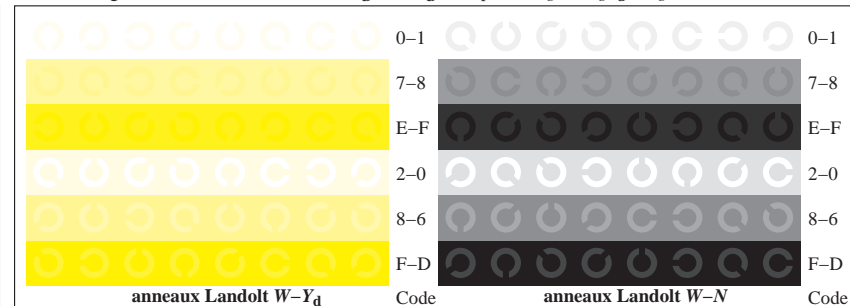
TF931-1, Fig. B4Wd: 16 équidistants étapes  $W-C_d$ ;  $W-M_d$ ;  $W-Y_d$ ;  $W-N$ ;  $rgb/cmy0 \rightarrow rgb_d$  setrgbcolor



TF931-3, Fig. B5Wd: code et Landolt anneau  $N$ ;  $C_d$ ;  $M_d$ ;  $Y_d$ ;  $Z$ ; PS operator  $rgb \rightarrow rgb_d$  setrgbcolor



TF931-5, Fig. B6Wd: anneaux Landolt  $W-C_d$ ;  $W-M_d$ ; PS operator  $rgb \rightarrow rgb_d$  setrgbcolor



TF931-7, Fig. B7Wd: anneaux Landolt  $W-Y_d$ ;  $W-N$ ; PS operator  $rgb \rightarrow rgb_d$  setrgbcolor